

مدل سازی توسعه فیزیکی شهر با ترکیب قابلیت‌های گوگل ارث انجین (GEE) و شبکه عصبی مصنوعی (MLP) (مطالعه موردی: شهر تبریز)

حسن محمودزاده^۱

مصطفی مهدوی فرد^۲

مجید مرادی عزیز^۳

ملیحه زنجانی ثانی^۴

چکیده

امروزه ارزیابی توسعه فیزیکی شهری با استفاده از تکنیک‌های نوین سنجش از دور می‌تواند اطلاعات پایه‌ای را در اختیار برنامه‌ریزان قرار دهد و از این طریق نقشی مؤثر در مدیریت و بهبود کاربری اراضی شهر ایفا کند. هدف از این پژوهش، پایش و ارزیابی توسعه فیزیکی شهر تبریز در دوره ۴۲ ساله (۱۹۷۲-۲۰۱۴) با استفاده از سامانه جدید Google Earth Engine (GEE) و پیش‌بینی تغییرات گسترش فیزیکی شهر تبریز با استفاده از مدل شبکه عصبی (MLP) است. نتایج این پژوهش نشان از قابلیت بالای فناوری GEE در استخراج پهنه‌های شهری طی دوره‌های مختلف دارد، بطوريکه این فناوری بخوبی توانست توسعه فیزیکی شهر تبریز را طی دوره ۴۰ ساله ارزیابی کند. نتایج توسعه فیزیکی شهر تبریز با بترتیب در دوره اول برابر با ۲۳۲۰ هکتار، دوره دوم برابر با ۷۵۶۳،۲۸ هکتار، دوره سوم برابر با ۱۱۱۲،۳۳ هکتار و دوره چهارم برابر با ۱۰۱۲،۵۸ هکتار ارزیابی شد. همچنین نتایج پیش‌بینی تغییرات حاصل از مدل MLP نشان دهنده این است که توسعه فیزیکی شهر تبریز در آینده رو به شمال شرقی و جنوب شرقی است. مدل اجرا شده از سال ۱۹۷۲ تا ۲۰۱۴ در قالب GEE و مدل تجربی شبکه عصبی مبتنی بر پرسپترون چندلایه بخوبی اقدام به شبیه سازی و مدلسازی روند توسعه کلانشهر تبریز برای بیست سال آینده نمود.

واژگان کلیدی: گوگل ارث انجین، توسعه فیزیکی شهر، پرسپترون چند لایه، سنجش از دور

مقدمه

شهرنشینی به عنوان انقلاب در فرهنگ انسان، باعث دگرگونی در روابط متقابل انسان‌ها با یکدیگر شده است. با افزایش جمعیت شهرنشینی، بهبود داری از محیط تشید می‌گردد (سرایی و موئذر، ۱۳۸۹: ۴۷) مطالعات نشان داده است که افزایش جمعیت و گسترش شهرنشینی موجب تبدیل فضاهای سبز شهری به سطوح بتی خشن و نفوذ ناپذیر می‌شود و این روند به ویژه در کشورهای در حال توسعه و جهان سوم نمودی جدی‌تر دارد (لانگ، ۲۰۰۲: ۱۸). از سوی دیگر با توجه به رشد جمعیت و گسترش شهرهای جهان، انتظار می‌رود که حدود ۶۰ درصد از جمعیت جهان تا سال ۲۰۳۰ در مناطق شهری زندگی کنند که ۹۰ درصد آن در کشورهای در حال توسعه

^۱. دانشیار جغرافیا و برنامه‌ریزی شهری، گروه جغرافیا و برنامه‌ریزی شهری، دانشکده برنامه‌ریزی، دانشگاه تبریز، تبریز، ایران(نویسنده مسئول)

Email: hassan.mahmoudzadeh@gmail.com-Tel: 09143149252

^۲. دانشجوی کارشناسی ارشد سنجش از دور و سیستم اطلاعات جغرافیایی، دانشکده برنامه‌ریزی و علوم محیطی، دانشگاه تبریز

^۳. کارشناس ارشد سنجش از دور و سیستم اطلاعات جغرافیایی، دانشکده برنامه‌ریزی و علوم محیطی دانشگاه تبریز

^۴. دانشجوی کارشناسی ارشد سنجش از دور و سیستم اطلاعات جغرافیایی، دانشکده برنامه‌ریزی و علوم محیطی، دانشگاه تبریز



می‌باشد. بنابراین رشد شهرها در چند سال آتی نیز گریز ناپذیر است. بنا به گزارش آژانس محیط زیست اروپا، گستردگی شهری تمدیدی جدی برای محیط‌های روستایی بالافصل، فضای سبز درون شهری و کمریند سبز حاشیه شهرهast (قبادیان نژاد و فلاحتی، ۱۳۹۷: ۵۲). به دلیل رشد سریع شهرنشینی در دهه‌های اخیر، توجهات ویژه‌ای به تغیرات کاربری زمین معطوف شده است، چرا که اکوسیستم در نواحی شهری شدیداً تحت تأثیر فعالیت‌های بشری است (صدرموسوی، ۱۳۹۴: ۱۸۹). گسترش بی رویه شهری دامنه‌ای از پیامدهای منفی همانند تخریب فضاهای سبز، هزینه بالای زیرساخت‌ها و انرژی، جدایی اجتماعی فزاینده و وابستگی به اتمیبیل شخصی و به تبع آن ترافیک در حال افزایش، مصرف انرژی و انتشار آلوده‌کننده‌ها، افزایش دمای هوا و تنزل کیفیت آب و هوا را به دنبال دارد. (سیف الدینی و منصوریان، ۱۳۹۰: ۵۴). به نظر می‌رسد در ایران شهرهایی که با مسئله گسترش سریع سکونتگاه‌های خود روبرو بوده‌اند، این توسعه با تخریب و نابودی اراضی کشاورزی آن‌ها همراه است. به عبارت دیگر، بخش زیادی از زمین مورد نیاز توسعه فیزیکی این دسته از شهرها، از طریق تغیر کاربری اراضی کشاورزی آنها فراهم شده است (اسماعیل پور و عزیزپور، ۱۳۸۸: ۳۷).

رشد و توسعه فیزیکی شهر در فضاهایی که از موضوعات حیاتی قرن حاضر در ارتباط با پایداری شهری به حساب می‌آید (قربانی و همکاران، ۱۳۹۵: ۲۲۰؛ محمودزاده و رنجبر نوازی، ۱۳۹۷: ۳۶). چرا که توسعه نامنظم شهر می‌تواند موجب ایجاد تغییرات گستردگی در شرایط محیطی و کاربری‌های زمین گردد (پوراحمد و همکاران، ۱۳۹۴: ۸۴ به نقل از جرجانی، ۱۳۸۶: ۸۲). مسائل این پدیده نه تنها سیاست‌های شهرسازی را به طور وسیعی تحت تأثیر قرار می‌دهد بلکه تبعات حاصل از آن می‌تواند سبب تشدید مسائل اقتصادی، اجتماعی، سیاسی، مدیریتی و زیست محیطی در شهرها گردد (پوراحمد و همکاران، ۱۳۹۴: ۸۴ به نقل از عزیزی، ۱۳۸۰: ۱۳). کلانشهر تبریز از جمله شهرهایی است که رشد و توسعه سریع آن طی دهه‌های اخیر، سازمان فضایی و نظام محله‌بندی سنتی آن را در هم شکسته است؛ از این رو شهری که تا چند دهه پیش در فضایی محدود، ارگانیک و منسجم شکل گرفته و با برج و بارو در فضای کالبدی سخت محصور بود، امروزه گسترش زیادی یافته و با ساختاری متخلخل و ناموزون مواجه شده است چنین شکلی از توسعه، الگویی از شهری بیمار است که انسجام کالبدی و فضایی خود را از دست داده است (محمودزاده، ۱۳۹۸: ۵۵۵). بر اساس آمارهای منتشر شده جمعیت شهر تبریز طی سال‌های (۱۳۳۵ تا ۱۳۹۵) از ۲۸۹۹۶ نفر به ۱۵۵۸۶۹۳ نفر رسیده است (مرکز آمار ایران، ۱۳۹۵). با توجه به این اصل که حداقل در ایران هیچ شهری نمی‌توانست وجود داشته باشد مگر اینکه منابع بالفعل یا بالقوه محیطی شرایط توسعه آن را فراهم سازند، به دنبال رشد فیزیکی شتابان مجتمعهای زیستی، بخش وسیعی از بهترین و بالطبع بالرزش‌ترین اراضی بالافصل، که از دیرباز شرایط زیست محیطی لازم و کافی برای تجمع انسانها در آن‌ها وجود داشته است، در معرض نابودی قرار می‌گیرد (محمدزاده، ۱۳۸۶: ۹۳). از جمله مسائل و مشکلات به وجود آمده در تبریز: آسیب‌های اجتماعی- اقتصادی و به ویژه پیامدهای نامطلوب زیست محیطی، مانند تغییر کاربری زمین‌های کشاورزی، آلودگی‌ها، آب، خاک، تاثیرات منفی بر فضای سبز شهری و غیره را به بار آورده است (روشتی و حسینی، ۱۳۹۰: ۲). در چنین شرایطی دسترسی به نقشه‌های دقیق با اطلاع از گسترش فیزیکی شهر و تغییرات آن در گذر زمان یکی از مهمترین موارد در برنامه‌ریزی و مدیریت شهری است. امروزه، به منظور برنامه‌ریزی موفق و اجرای کارآمد برنامه‌ها، مدیران و تصمیم‌گیران نیازمند اطلاعات به هنگام و دقیق از نسبت کاربری‌های اراضی هستند (فیضی زاده، ۱۳۹۸: ۱۶۸). بنابراین پژوهش حاضر با هدف مدل سازی توسعه شهری کلان شهر تبریز و پیش‌بینی تغییرات آتی با استفاده از سامانه GEE و پرسپکترون چند لایه انجام شده است.

مبانی نظری

شهرها با توجه به ویژگی ذاتی‌شان از جمله روند پیدایش آن‌ها خودسازمانده بودن آنها، خود تشابهی و رفتارهای غیر خطی یا دینامیک کاربری اراضی، می‌توان به عنوان سیستم‌های پیچیده در نظر گرفت. برای مدلسازی سیستم‌های شهری، باید از روش‌های جدید استفاده کنیم، از آنجا که رشد شهری، پدیده‌ای پیچیده است و در آن تعدادی از متغیرها با یکدیگر تعامل غیرخطی دارند، استفاده از شبکه عصبی مصنوعی برای مدل کردن توسعه و رشد شهری کاملاً منطقی است. شبکه‌های عصبی مصنوعی با ساختار نقشه‌سازی غیر خطی و برای مدل سازی سیستم‌های متصل به بدیگر مانند مغز، متشكل از نورون‌ها توسعه داده شده‌اند (کامیاب و همکاران، ۱۳۹۰: ۱۰۰). شبکه‌های پرسپکترون چندلایه، با استفاده از یک الگوریتم یادگیری پس انتشار (BP) یکی از پر استفاده‌ترین مدل‌های شبکه عصبی است.



یک شبکه معمولی MLP شامل یک لایه ورودی، یک لایه خروجی و یک لایه یا چند لایه پنهان است. (محمدزاده و عزیزمردادی، ۱۳۹۸: ۸۲). شبکه عصبی مصنوعی، مستقل از توزیع آماری داده هاست و به متغیرهای آماری ویژه ای نیاز ندارد؛ بنابراین این ویژگی امکان ترکیب داده‌های سنجش از دور و سیستم اطلاعات جغرافیایی را تسهیل می‌کند (باقری و همکاران، ۱۳۹۷: ۱۷۷). در این راستا، فن سنجش از دور با ارائه تصاویر ماهواره‌ای می‌تواند ابزار بسیار مفیدی برای تشریح روابط متقابل بین مکان و فعالیت‌های انسانی و کمک به تصمیم‌گیری برنامه‌ریزان در شرایط پیچیده باشد (میرزایی زاده و همکاران، ۱۳۹۴: ۳۰). از طریق این فن می‌توان با استفاده از مجموع تصاویر چند زمانه و پردازش آن‌ها با یکی از روش‌های مناسب موجود و با سرعت و دقیقت بالا نسبت به آشکارسازی تغییرات مورد نظر در منطقه مورد مطالعه اقدام کرد (صالحی و همکاران، ۱۳۹۸: ۱۰۷). در حال حاضر، علم سنجش از دور در حال تغییر یک پارادایم اساسی است که در آن رویکردهای تفسیر یک یا دو تصویر راه را برای طیف وسیعی از برنامه‌های کاربردی غنی از داده‌ها می‌گیرند. این پیشرفت‌ها توسط سامانه پردازشی آنلاین تصاویر ماهواره‌ای (GEE)^۱ تسهیل شده است (مجیدی و احمد، ۱۴۰۱: ۲۰۱۸). گوگل ارث انجین یک پلتفرم محاسباتی است که اخیراً توسط شرکت Google برای تجزیه و تحلیل علمی در مقیاس petabyte و تجسم داده‌های زمینی منتشر شده است. استفاده از یک زیرساخت اختصاصی محاسباتی با کارایی بالا به محققان این امکان را می‌دهد که به راحتی و به سرعت به بیش از سی سال از بایگانی داده‌های رایگان و عمومی برای برنامه‌های سنجش از دور جهانی دسترسی پیدا کنند. به این ترتیب، بسیاری از محدودیت‌های مربوط به بارگیری، ذخیره سازی و پردازش داده‌ها با زحمت بر طرف می‌شوند (ناسکتی و همکاران^۲، ۱۴۰۲: ۲۰۱۷). تاکنون مطالعه‌ای در خصوص GEE در کشور انجام نشده است و این پژوهش جز اولین پژوهش در زمینه پردازش آنلاین تصاویر ماهواره‌ای با GEE محسوب خواهد شد. در ادامه ابتدا به پیشینه‌ی مطالعه‌ی شبکه عصبی و سپس سامانه پردازشی آنلاین GEE پرداخته می‌شود.

rstmi گله و همکاران (۱۳۹۷: ۹۶) در پژوهشی به مدل‌سازی احتمال رشد شهری با استفاده پرسپترون چند لایه و رگرسیون لجستیک در مشهد پرداخته‌اند. نتایج ارزیابی مدل رگرسیونی ایجادشده با استفاده از دو شاخص Pseudo-R2 و ROC نشان داد که این مدل با مقادیر بالای ROC معادل ۰/۸۷ و Pseudo-R2 ۰/۳۴۵ معادل ۰/۰۷ است. جهت نمایش تغییرات و تعیین مناطق مستعد تغییر می‌باشد و می‌توان برآش مدل را نسبتاً خوب در نظر گرفت. یوسفی و اشرفی (۱۳۹۵: ۱۷۹) در پژوهشی به مدل سازی رشد شهری بجنورد با استفاده از داده‌های سنجش از دور و شبکه عصبی پرسپترون چند لایه در بجنورد پرداخته‌اند. نتایج نشان دهنده رشد توسعه مناطق شهری و مقابلاً کاهش کلاس‌های دیگر کاربری اراضی بوده و با توجه به نتایج حاصل این روند در آینده نیز ادامه خواهد داشت. حیدریان و همکاران (۱۳۹۴: ۹۷) در پژوهشی به مدل سازی توسعه شهری با استفاده از پیش‌پردازش‌های آماری و مدل پرسپترون چند لایه در تهران پرداخته‌اند. نتایج نشان داد پیش‌بینی صورت گرفته نسبت به مطالعات گذشته به واقعیت‌های زمینی نزدیکتر است و بیشترین میزان توسعه در سال ۱۳۹۶ در بخش‌های شرقی، شمال غرب و غرب کلانشهر تهران خواهد بود. قبرزاده و همکاران (۱۳۹۳) در پژوهشی به آشکار سازی تغییرات کاربری اراضی با استفاده از تصاویر Worldview و الگوریتم‌های شبکه عصبی (MLP,RBF,SOM) پرداخته‌اند. نتایج نشان دهنده کارایی بهتر الگوریتم MLP می‌باشد. المدرسی الحسینی و همکاران (۱۳۹۳) در پژوهشی به بررسی تغییرات کاربری اراضی در همدان با روش MLP پرداخته‌اند. نتایج نشان می‌دهد که مساحتی حدود ۸۰۰ هکتار از اراضی کشاورزی و پوشش گیاهی شهر همدان بین سالهای ۲۰۰۶ تا ۲۰۰۹ از بین رفته است. علوی و همکاران (۱۳۹۶: ۹۷)، در پژوهشی به آشکار سازی تغییرات کاربری اراضی با استفاده از شبکه عصبی مصنوعی در تبریز پرداخته‌اند. نتایج نشان می‌دهد اراضی ساخته شده در یازده زمانی ۲۰ ساله از میزان ۴۷۰۷ به ۸۳۲۲ هکتار و پوشش گیاهی حدود ۹۳٪ و زمین‌های باир به میزان ۴۳۷۹ هکتار کاهش داشته است.

²- Google Earth Engine

³- Magidi & Ahmed

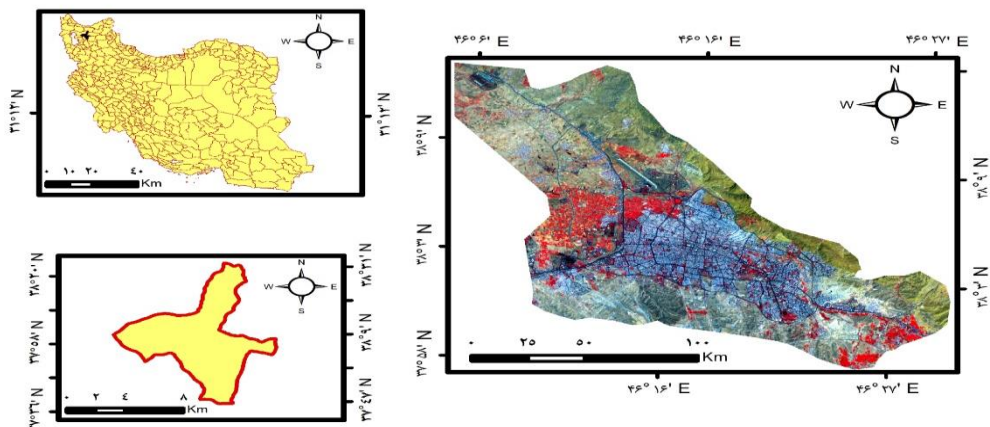
⁴- Nascenti & et al



یو و همکاران^۱ (۲۰۱۸: ۱) برای تهیه نقشه کاربری زمین و طبقه بندی پوشش زمین در بنگلادش (۲۰۰۵) از GEE استفاده کرده اند. پژوهشگران تصاویر با وضوح ۳۰ متری بازتاب سطحی تهیه شده از داده های لندست ۵ را مورد استفاده قرار داده اند و بر روی آن^۶ ها شاخص های NDBI و NDVI^۲ را اعمال کرده اند. ارزیابی دقت شاخص ها به صورت تصادفی در مقایسه با نمونه های تولید شده از پروداکت GlobeLand30 انجام شده و به طور کلی دارای دقت حدود ۸۴/۸ درصد بوده است. نتیجه اعمال این پروداکت نشانگر جزئیات بیشتری از شهرک های کوچک و مناطق روستایی نسبت به شاخص های مورد استفاده بوده است. سیدهو و همکاران^۳ (۲۰۱۸: ۴۸۶)، برای تشخیص تغییرات پوشش زمین در سنگاپور از پروداکت ۳۲ روزه لندست ۵، پروداکت روزانه EVI^۴ سنجنده مودیس و رستر های طبقه بندی شده MCD12Q1-1 IGBP^۵ در سامانه GlobCover 2009 و MCD12Q1-1 استفاده کرده اند. تجزیه و تحلیل انجام شده با استفاده از GEE براساس داده های MODIS EVI نشانگر آن است که منطقه تیوس با رشد شهری بین سال های ۲۰۱۰-۲۰۰۶ مواجه بوده است. همچنین پروداکت ۳۲ روزه EVI لندست ۵ نتایج قابل توجهی را به دلیل وجود چندین مقدار داده های معیوب برای سنگاپور نشان نمی دهد. سلیک^۶ (۲۰۱۸: ۱)، با استفاده از تصاویر راداری Sentinel-1 و تصاویر چندطیفی Sentinel-2 شناسایی تغییرات مناطق شهری در آنکارا از سامانه پردازشگر تصاویر ماهواره ای GEE استفاده کرد. نتایج این پژوهش نشان می دهد که در منطقه مورد مطالعه میزان ۵/۹ درصد تغییر داشته است. بنابراین، بر اساس مبانی مطرح شده و پیشینه موجود، تحقیق حاضر با هدف معرفی سامانه جدید (GEE)، بررسی و تحلیل این پرتال تحت وب، کاربرد آن در پایش و ارزیابی تغییرات سکونتگاه های انسانی^۷ و ارتباط نقشه ای تهیه شده با استفاده از مدل MLP^۸ جهت پیش بینی تغییرات توسعه فیزیکی شهر تبریز می باشد.

منطقه مورد مطالعه

شهر تبریز بعنوان مرکز استان آذربایجان شرقی و یکی از پرجمعیت ترین شهرهای ایران بشمار می رود. طبق سرشماری بعمل آمده جمعیت این شهر در سال ۱۳۹۵ برابر یک میلیون و ۷۷۳ هزار و ۳۳ نفر می باشد (مرکز آمار ایران). شهر تبریز با ارتفاع تقریبی ۱۳۲۰ متر از سطح دریا در ۴۶ درجه و ۱۷ دقیقه عرض شمالی از نصف النهار گرینویچ واقع شده است (شکل ۱).



شکل(۱). موقعیت منطقه مورد مطالعه

^۱- Yu & et al

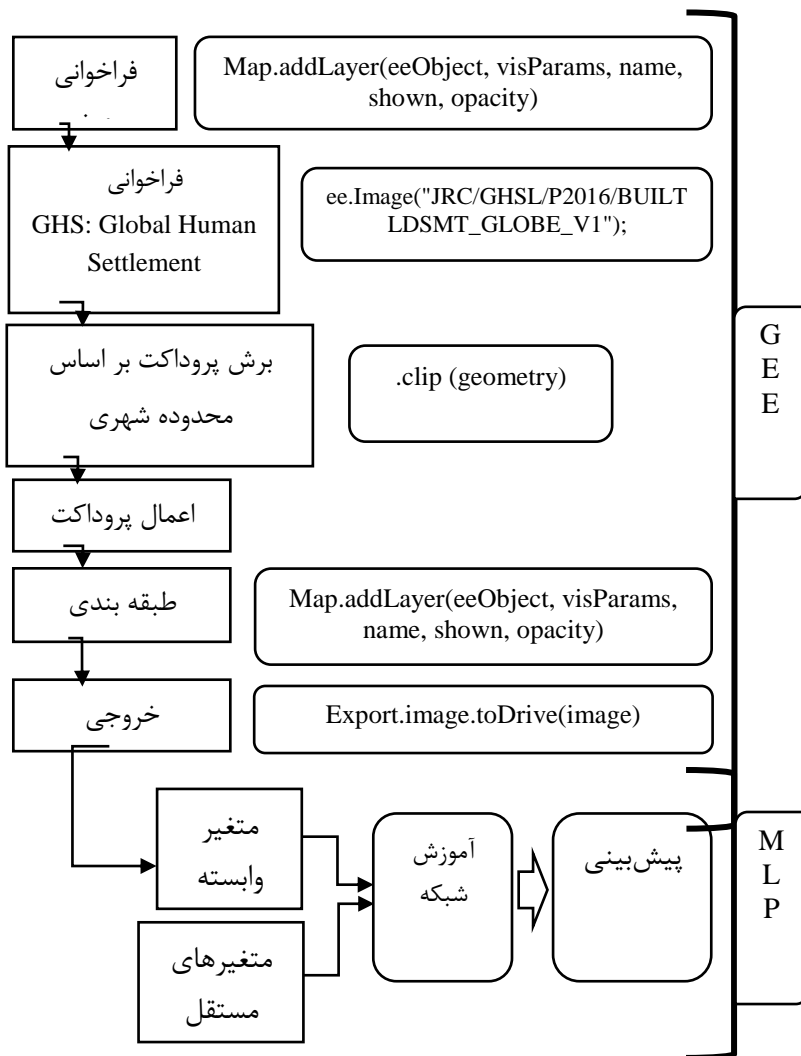
^۲- Sidhu & et al

^۳- Celik

^۴- Global human settlement layer

داده‌ها و روش‌ها

در این پژوهش از سامانه آنلاین پردازش تصاویر ماهواره‌ای گوگل ارث انجین بمنظور پردازش و استخراج پروداکت جهانی GHSL استفاده شد و سپس برای پیش‌بینی تغییرات از مدل MLP نرم‌افزار Terset استفاده گردید. شکل ۲ روند انجام پژوهش را نشان می‌دهد.



شکل (۲). روند انجام پژوهش

گوگل ارث انجین

GEE، یک پلتفرم محاسباتی برای پردازش تصاویر ماهواره‌ای و داده‌های مکانی و جغرافیایی در فضای ابری برای یکپارچه سازی داده‌های عظیم (در مقیاس Petabyte) از جمله داده‌های ماهواره‌ی لنdest می‌باشد (شلستوف^۱ و همکاران، ۱۰۱۷: ۱). این سامانه دسترسی به نرم افزارها و الگوریتم‌ها برای پردازش داده‌های ماهواره‌ای را فراهم می‌آورد. این پرتال تحت وب در اوخر سال ۲۰۱۰

^۱- Shelestov & et al



تاسیس شده است، دسترسی به داده‌های ماهواره‌ای و سایر اطلاعات اضافی، محاسبات ابری و الگوریتم‌های پردازش داده‌های بزرگ را با سهولت نسبی فراهم می‌کند (کومار و موتانگا^۱، ۲۰۱۸: ۱۵۰۹). سامانه GEE با استفاده از یک زیرساخت محاسباتی با کارایی بالا پژوهشگران را قادر می‌سازد تا به راحتی و با سرعت بالا به بیش از سی سال از آرشیوهای داده‌های رایگان و عمومی از جمله تصاویر قدیمی و مجموعه داده‌های علمی برای برنامه‌های کلان سنجش از دوری دسترسی پیدا کنند، به این ترتیب، بسیاری از محدودیت‌های مربوط به دانلود، ذخیره و پردازش داده‌ها به راحتی برطرف می‌شوند (گورلیک^۲ و همکاران، ۲۰۱۷: ۱۸). با استفاده از این سامانه می‌توان به بررسی پوشش جنگلی، تغییر کاربری زمین، ارزیابی سلامت در حوزه کشاورزی و منابع طبیعی در بین بسیاری از تحلیل‌های ممکن پرداخت (تارنمای <https://earthengine.google.com>).

پروداکت Bulit-up GHSL

پروداکت سکونتگاه جهانی انسان (GHSL) در سال ۲۰۱۵ با هدف استخراج اطلاعات در مورد ساخت و ساز انسانی برای داده‌های سری ماهواره لندست با استفاده از یک سیستم محاسبه خوش ای استاندارد انجام شد. این پروداکت توسط کمیسیون اروپا، مرکز تحقیقات مشترک و اداره کل سیاست‌های منطقه ای و شهری حمایت می‌شود (پسارسی^۳ و همکاران، ۲۰۱۶: ۱). لایه اطلاعات چندرسانه ای GLS1975, GLS1990, GLS2000, and ad- Landsat 8 collection Bulit-up حاصل از مجموعه تصاویر لندست (Landsat 8 collection) می‌باشد. محصول اصلی، داده‌ای با توان تفکیک مکانی ۳۸ متری است. بطور کلی این بخش شامل پردازش داده‌های ۲۰۱۳/۲۰۱۴ می‌باشد. محصول اصلی، داده‌ای با توان تفکیک مکانی ۳۸ متری است. بطور کلی این بخش شامل پردازش داده‌های ۲۰۱۳/۲۰۱۴ می‌باشد. پردازش تصاویر، طبقه بندهی تصاویر و مجموعه آموزش و تست مورد استفاده در آزمایش می‌باشد ورودی، پردازش تصاویر، طبقه بندهی تصاویر و مجموعه آموزش و تست مورد استفاده در آزمایش می‌باشد (https://ghsl.jrc.ec.europa.eu). تکنیک GHSL تکنیکی است که توسط آن رشد و تکامل فضایی شهرک‌های انسانی در ۴۰ سال گذشته را ارزیابی می‌کند. این تکنیک برای به رسمیت شناختن سطح ساخته شده از داده‌های ماهواره‌ای برای عملیات کاملاً خودکار و بازتولید شده براساس طبقه بندهی نظارت شده مبتنی بر یادگیری ماشین نمادین (ML)^۴ است و از محصلولات پوشش جهانی به عنوان مجموعه آموزشی استفاده می‌کند. مجموعه داده‌های مورد استفاده در پروداکت GHSL برای ارزیابی توسعه فیزیکی در جدول ۱ آمده است (کوربان^۵، ۲۰۱۷: ۱۱۸).

جدول (۱). داده‌های مورد استفاده در پروداکت GHSL

پروداکت و مجموع داده‌ها	تولید کننده	اندازه پیکسل	تیمر زمانی تصاویر	تیمر زمانی محصول
GLS1975	سازمان زمین‌شناسی آمریکا	۶۰ متر	۱۹۷۲-۱۹۸۶	۱۹۷۵
GLS1990	سازمان زمین‌شناسی آمریکا	۳۰ متر	۱۹۸۴-۱۹۹۷	۱۹۹۰
GLS2000	سازمان زمین‌شناسی آمریکا	۳۰ متر	۱۹۹۹-۲۰۰۳	۲۰۰۰
Landsat-8	سازمان زمین‌شناسی آمریکا	۱۵ و ۳۰ متر	۲۰۱۳-۲۰۱۴	۲۰۱۴

^۱- Kumar & Mutanga

^۲- Gorelick & et al

^۳- Pesaresi & et al

^۴- Machine Learning

^۵- Corbane

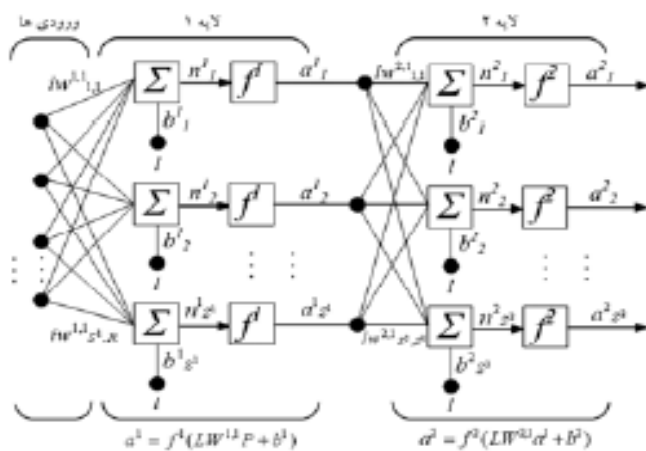
شبکه عصبی مصنوعی

یک سامانه پردازشی داده‌ها است که از مغز انسان ایده گرفته و پردازش داده‌ها را به عهده پردازنده‌های کوچک و بسیار زیادی سپرده که به صورت شبکه‌ای به هم پیوسته و موازی با یکدیگر رفتار می‌کنند تا یک مسئله را حل نمایند. در این شبکه‌ها به کمک دانش برنامه نویسی، ساختار داده‌ای طراحی می‌شود که می‌تواند همانند نورون عمل کند. که به این ساختار داده نورون گفته می‌شود. بعد با ایجاد شبکه‌ای بین این نورونها و اعمال یک الگوریتم آموزشی به آن، شبکه را آموزش می‌دهند (هارونی و کریمی، ۱۳۹۳). شبکه عصبی مصنوعی مستقل از توزیع آماری داده‌ها است و متغیرهای آماری ویژه نیاز نیستند. بنابراین این ویژگی امکان ترکیب داده‌های سنجش از دور و سیستم اطلاعات جغرافیایی را تسهیل می‌کند. علاوه بر این، تجزیه و تحلیل دقت، حتی با گروه داده آموزشی اندک از منطقه امکان پذیر است، زیرا محاسبات پیکسل-مبنا هستند (پارک^۱ و همکاران، ۱۴۰۱: ۲۰۱).

شبکه عصبی پرسپترون چندلایه (MLP)

شبکه‌های عصبی پرسپترون چندلایه از مهم‌ترین و پرکاربردترین شبکه‌های عصبی در پیش‌بینی (خاشعی و همکاران، ۱۳۹۲) یک متغیر که وابسته به یک متغیر دیگر است به شمار می‌آید (محمودزاده، عزیزمرادی، ۱۳۹۸). از دیدگاه ریاضی یک شبکه عصبی به عنوان یک تقریب‌گر است. توانایی آن در تقریب بین الگوهای یک مساله باعث می‌شود تا بتوان مسائل با پیچیدگی زیاد مانند شناسایی الگو، تفکیک الگو، نگاشت غیرخطی، حافظه انجمنی، خودسازمان دهی و کنترل را انجام دهد (دهقانی و همکاران، ۱۳۸۹).

شبکه‌های پرسپترون چندلایه معمولاً با روش پس انتشار آموزش داده می‌شوند. فرایند آموزش و یادگیری، نیاز به مجموعه‌ای از الگوهای آموزشی با ورودی‌ها و خروجی‌های مطلوب دارد (یوان، ۲۰۰۲: ۴۹). لایه ورودی دارای نورون‌هایی به تعداد ابعاد داده‌های ورودی طبقه‌بندی است، که هر نورون وظیفه ورود یک باند اطلاعاتی به شبکه را بر عهده دارد.



شکل (۳). شبکه عصبی دو لایه

همان طور که در شکل ۲ مشاهده می‌گردد، لایه خروجی دارای یک نورون است که نوع کلاس خروجی هر پیکسل را مشخص می‌سازد و لایه‌های میانی به عنوان واسطه لایه ورودی و خروجی، عملکرد شبکه را غیر خطی و منعطف می‌کند. آموزش شبکه‌های عصبی MLP شامل دو مرحله است. در مرحله اول که از سمت ورودی به سمت خروجی است، مقدار خطا بر حسب رابطه (۱) محاسبه می‌شود:

^{۱۵}- Park & et al

$$E = \frac{1}{2} \sum_{j=1}^L (d_j - o_j^m)^2 \quad (1)$$

که در آن d_j و o_j^m به ترتیب خروجی مورد انتظار و جواب حاصل از شبکه عصبی در نرون زام موجود در لایه خروجی را نشان می‌دهند و L تعداد نرون‌های طراحی شده در لایه پایانی است. در مرحله دوم که از سمت خروجی شبکه به سمت ورودی شبکه است، بردار وزن‌ها تعدیل می‌شود. رابطه (۲) چگونگی این محاسبات را نشان می‌دهد:

$$\begin{cases} \Delta w_{i,j}^{k-1,k} = -\eta(t) \frac{\partial E}{\partial W_{i,j}^{k-1,k}} \\ \Delta W_{i,j}(t+1) = -\Delta W_{i,j} + a\Delta W_{i,j}(t) \end{cases} \quad (2)$$

به طوری که $W_{i,j}$ وزن مناسب به پاسخ نرون زام است که به عنوان ورودی به نرون i ام در لایه بعد ارسال می‌گردد. H ثابت عددی است که روند و مقدار تصحیحات اعمال شده به وزن‌ها را کمتر می‌کند و نرخ آموزش نامیده می‌شود. A که پارامتر اینرسی نام دارد، مقادیر بین صفر و یک به خود می‌گیرد و نقش پایدار سازی روند آموزش عمل می‌کند، بدین ترتیب که میزان تصحیحات در هر مرحله تحت تأثیر تعداد تکرار انجام شده در مرحله آموزش است. مقدار a باید بین صفر و یک باشد. استفاده از مقادیر بزرگ مانند 0.8 سبب همگرایی سریع می‌شود اما در تکرارهای بعدی، جواب الگوریتم حول نقطه مینیمم نوسان می‌کند و مقدار کوچک باعث زمان بر شدن الگوریتم می‌شود، اما الگوریتم به پایداری بالاتری دست می‌یابد (منهج^{۱۶}، ۲۰۰۲).

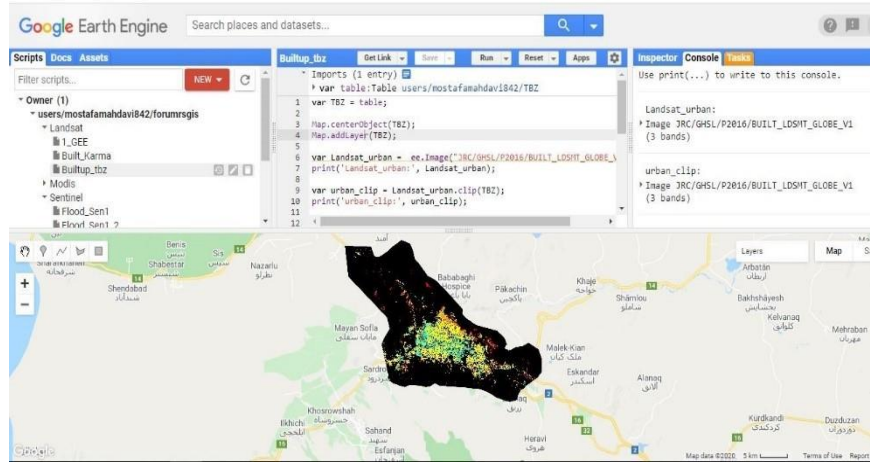
تجزیه و تحلیل داده‌ها

پس از پردازش تصویر در محیط سامانه آنلاین گوگل ارث انجین و انجام پیش‌بینی تغییرات با استفاده از شبکه عصبی (MLP) نتایج حاصل گردید.

گوگل ارث انجین

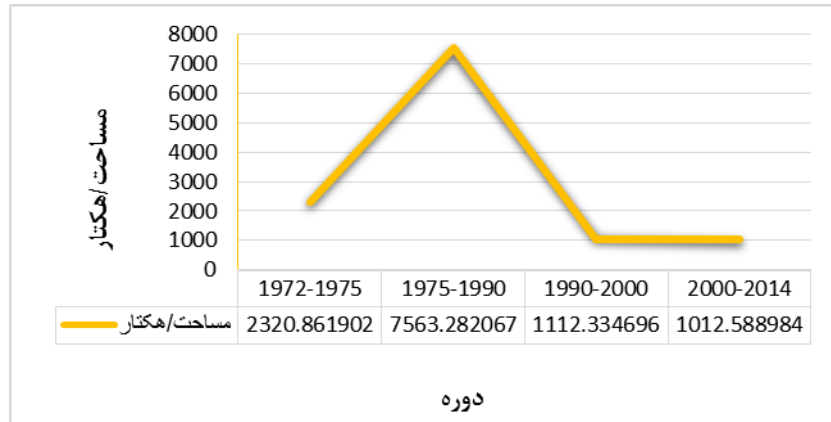
نتایج سامانه پردازشی آنلاین گوگل ارث انجین نشان داد که در طی دوره‌ی ۴۰ ساله شهر تبریز توسعه فیزیکی چشمگیری داشته است. طبق نتایج حاصل شده از داده‌های GEE مساحت ساخت و ساز شهر تبریز در دوره اول بین سال‌های ۱۹۷۳-۱۹۷۵ به میزان ۲۳۲۰,۸۶ هکتار بوده که این نتیجه در دوره دوم بین سال‌های ۱۹۷۵-۱۹۹۰ با رشد چشمگیری از ساخت و ساز با مساحت ۷۵۶۳,۲۸ هکتار رسیده است همچنین نتایج نشان می‌دهد در دوره سوم بین سال‌های ۱۹۹۰-۲۰۰۰ مساحت ساخت و ساز شهری ۱۱۱۲,۳۳ هکتار بوده و در حالیکه در سال‌های ۲۰۰۰-۲۰۱۴ مساحت ساخت و ساز شهری به میزان ۱۰۱۲,۵۸ هکتار رسیده است. شکل ۴ و ۶ نقشه‌ی توسعه فیزیکی در دوره‌های مختلف مطالعاتی در محیط GEE را نشان می‌دهد و همچنین شکل ۵ روند تغییرات دوره‌های توسعه فیزیکی شهر را نشان داده است.

^{۱۶}- Menhaj

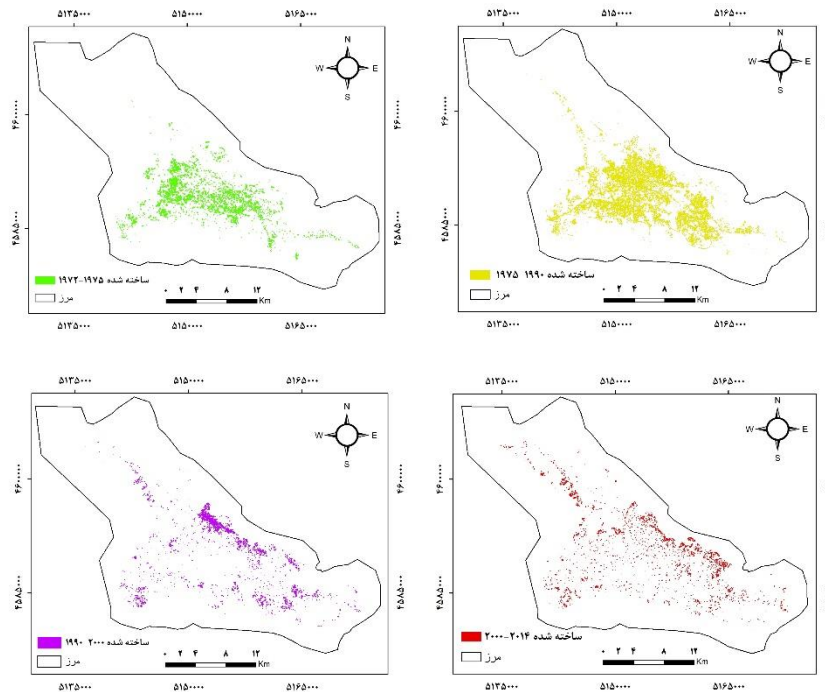


شکل (۴). محیط ویرایشگر سامانه آنلاین

<https://code.earthengine.google.com/>) Google Earth Engine



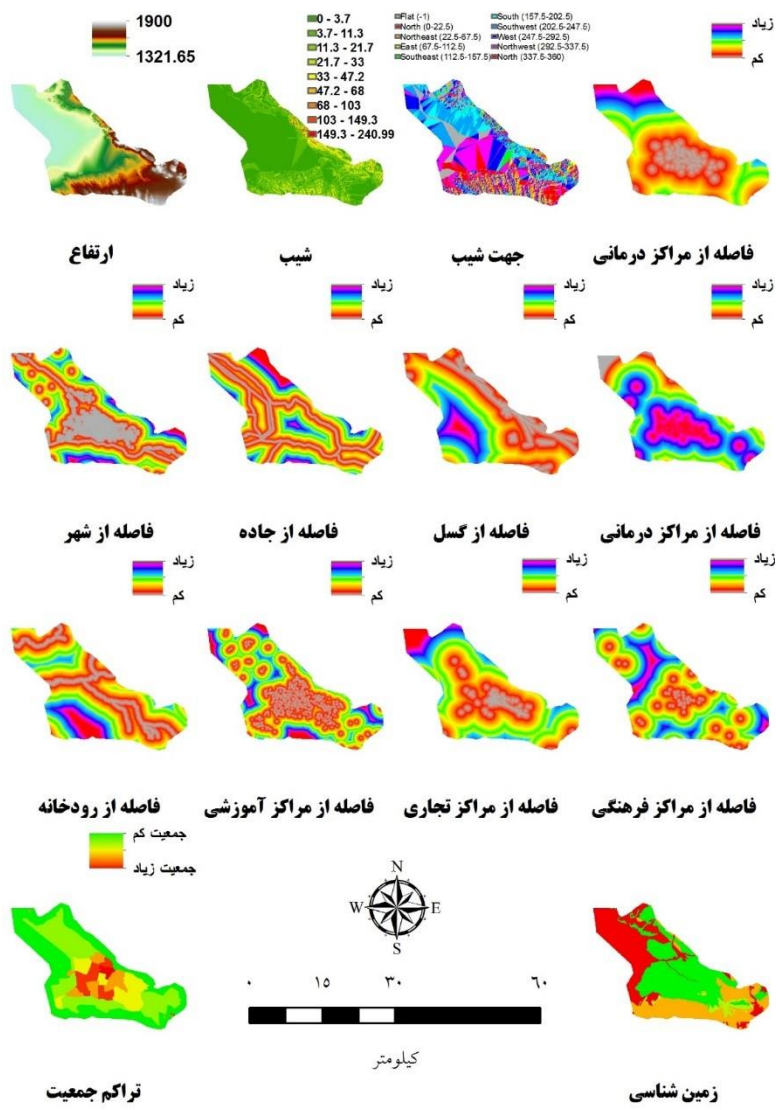
شکل (۵). روند تغییرات توسعه فیزیکی شهر تبریز طی ۴۰ سال



شکل (۶). وضعیت توسعه فیزیکی شهر تبریز تا سال ۲۰۱۴ (متغیر وابسته)

اجرای مدل پرسپترون چندلایه

همانگونه که عنوان شد به منظور اجرای مدل پرسپترون چندلایه یک متغیر وابسته و چندین متغیر مستقل لازم است. متغیر وابسته به صورت ۰ و ۱ در شکل ۵ مشخص است؛ که در آن مناطق ساخته شده تا سال ۲۰۱۴ یک و سایر مناطق ۰ در نظر گرفته شده‌است. متغیر وابسته در واقع همان خروجی توسعه فیزیکی گوگل ارث انجین (شکل ۶) است. همچنین متغیرهای مستقل که عوامل تاثیرگذار بر روی توسعه فیزیکی شهر تبریز هستند؛ در شکل ۷ مشخص شده است.

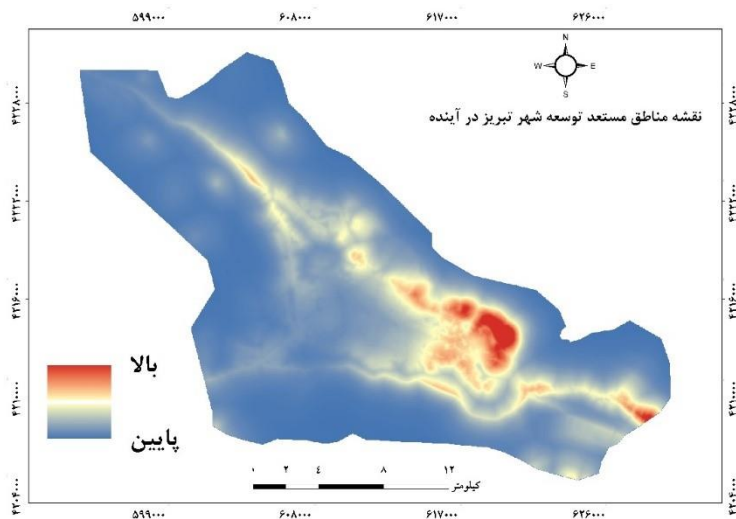


شکل(۷). عوامل مؤثر بر توسعه فیزیکی شهر (متغیرهای مستقل)

آموزش شبکه

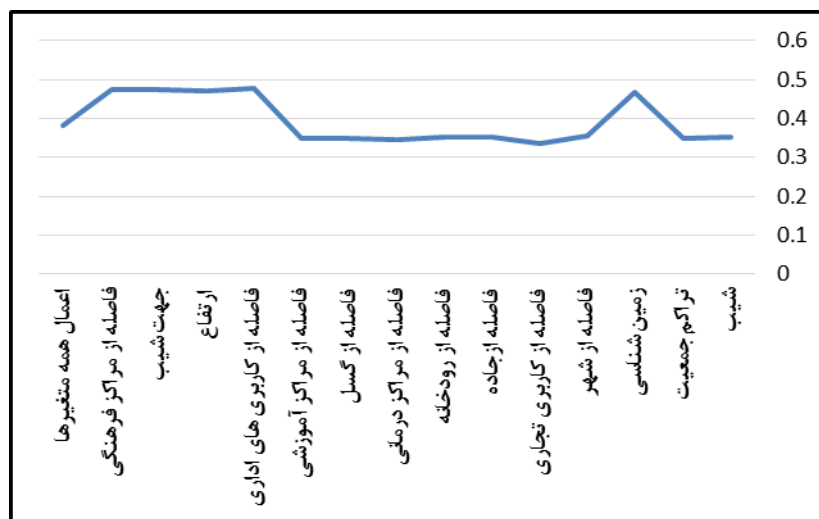
در نرم افزار TerrSet مدل پرسپترون چندلایه قرار دارد که می‌توان با تعیین پارامترهای ورودی در ابتدا آموزش شبکه و سپس پیش‌بینی صورت گیرد. قبل از اجرای مدل شبکه عصبی، آموزش شبکه صورت گرفت. پارامترهای که در آموزش شبکه باید در نظر گرفته می‌شد تعیین شد.

در ابتدا متغیر وابسته که همان توسعه شهر به صورت صفر و یک است وارد مدل شد سپس متغیرهای مستقل نیز به مدل فراخوانی شدند. سایر پارامترها نیز با سعی و خطا تعیین شدند؛ درنهایت از یک لایه پنهان، توقف در ده هزار تکرار، خطای RMS ۰/۰/۱ درصدی، آموزش شبکه صورت گرفت که خطای RMS آن برابر با ۱/۱۳۳ است. لذا با شرایط آموزش شبکه، پیش‌بینی با مشارکت همه متغیرها صورت گرفت. خروجی MLP یک نقشه است (شکل ۵) که در آن پیکسل‌ها از مستعدترین برای توسعه تا غیر مستعدترین پیکسل‌ها رتبه‌بندی شده‌اند.



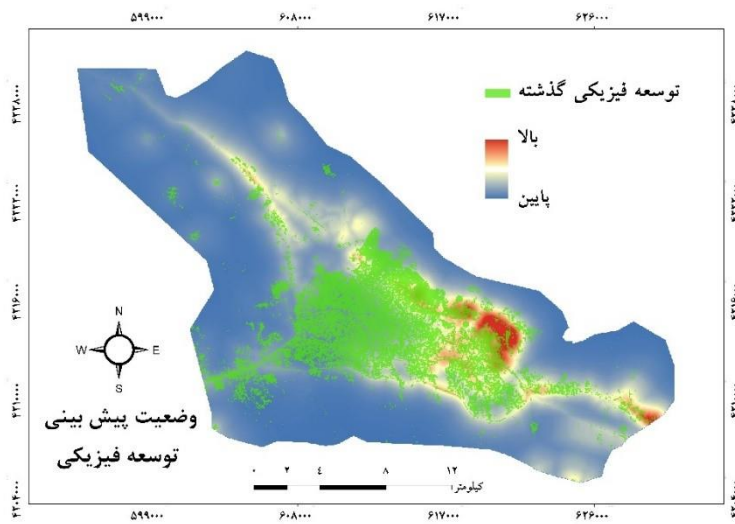
شکل(۸). نقشه حاصل از MLP برای مناطق مستعد توسعه آینده

برای صحت سنجی مدل MLP از طریق حذف تک متغیرهای مستقل و اجرای مدل میزان RMS برای حذف هریک از متغیرها به دست آمد.



شکل (۹). نتایج RMS حاصل از حذف متغیرها برای آموزش شبکه

همانطور که در شکل ۹ دیده می‌شود کمترین مقدار ($0/3343$) مربوط به حذف متغیر فاصله از کاربری تجاری است. در حالیکه با حذف متغیر فاصله از کاربری اداری میزان RMS رو به بیشترین حد خود رسانده و برابر با $0/477$ است. با این کار متوجه می‌شویم که کدام متغیرها در مدل سازی بهتر عمل کرده‌اند و کدام متغیرها خطای مدل سازی را بیشتر کرده‌اند.



شکل (۱۰). مقایسه نتیجه MLP با وضعیت توسعه فیزیکی شهر در گذشته

نتیجه‌گیری

در این پژوهش سعی شد با استفاده از داده‌های موجود در سامانه آنلاین پردازش تصاویر ماهواره‌ای گوگل ارث انجین، تصاویر ماهواره‌ای لندست در کسری از دقایق بمنظور تهیه نقشه توسعه فیزیکی شهر تبریز بدون پردازش سخت مورد پردازش و تحلیل قرار گیرند و نسبت به پیش‌بنی تغییرات آینده توسعه فیزیکی شهر با استفاده از مدل MLP اقدام شود. همانطور که از شکل ۶ مربوطه پردازش آنلاین گوگل ارث انجین مشخص است این پرداشگر آنی بخوبی توانسته با قدرت تفکیک مکانی حدود ۳۸ متر توسعه فیزیکی در دوره‌های مختلف را نشان دهد بطوریکه با افزایش رشد شهرنشینی طی ۴۰ سال در شهر تبریز شاهد تحریب حدود ۳۸ درصد باغات و کشاورزی در این شهر شده‌ایم و حتی این سامانه بخوبی رشد سریع جمعیت در سال‌های اخیر (۲۰۱۴) در حواشی شهر تبریز و در پایکوه عینالی که مرکز اصلی زلزله‌های اخیر شهر تبریز است را نشان داده است و همینطور روند روبه رشدی جهت توسعه فیزیکی شهر در این بخش از شهر تبریز را شاهد هستیم. همچنین در (شکل ۸) نتایج حاصل از RMS نشان داده است که مدل‌سازی MLP با استفاده از متغیرها به خوبی صورت گرفته است زیرا میزان RMS در مرحله آموزش شبکه مناسب است؛ همچنین با توجه به شکل ۹ پیش‌بینی با بهترین شرایط انجام شده است که نتایج آن نشان داده است که توسعه فیزیکی شهر تبریز در آینده به سمت شمال شرق تا پایکوه‌های عون بن علی است و همچنین قسمت شرقی در امتداد جاده تبریز به تهران نیز مستعد توسعه تشخیص داده شده است. از جمله مواردی که نشان دهنده نتیجه مناسب این روش برای پیش‌بینی توسعه فیزیکی این است که ارتفاعات پایین‌ترین میزان مستعد بودن را برای توسعه دارند که با نتایج پژوهش انصاری لاری و همکاران (۱۳۸۹) همخوانی دارد. اما در قسمت غربی توسعه فیزیکی کمتری پیش‌بینی شده است؛ و برای آن مناطق استعداد پایین‌تر برای توسعه فیزیکی این است که ارتفاعات پایین‌ترین میزان مستعد بودن را برای نشان دهنده نتیجه ای نسبتاً مشابه با پژوهش حاضر دارد بطوریکه نتایج آن‌ها نشان از توسعه آینده شهر رامهرمز به سمت شمالی و پایکوه‌های این شهر دارد. البته ابزار پردازشی مقایسه‌ای در پژوهش‌های یاد شده با استفاده از عکس‌های هوایی Google Earth بوده است در حالی که روش کار پژوهش حاضر با استفاده از روش‌ها و پروداکت‌های به روز موجود در سامانه پرداشگر آنلاین Google Earth Engine انجام شده است که در حقیقت این ابزار برای نخستین بار در کشور مورد ارزیابی و پژوهش قرار گرفته است و نمونه مشابهی از استفاده پژوهشگران در کشور مشاهده نشده است.



منابع

- احمد نژاد روشتی، محسن، سید احمد، حسینی، (۱۳۹۰)، ارزیابی و پیش‌بینی تغییرات و پراکنش افقی شهرها با استفاده از تصاویر ماهواره‌ای چند زمانه و سیستم اطلاعات جغرافیایی، نمونه موردی شهر تبریز در مقطع زمانی ۱۳۸۹-۱۳۶۳، پژوهش‌ها و برنامه‌ریزی شهری، ۲(۴): ۲۰-۱.
- اسماعیلی، فاطمه، ایلانلو، مریم، (۱۳۹۷)، قابلیت‌ها و محدودیت‌های ژئومورفولوژیکی توسعه فیزیکی شهر رامهرمز، کنفرانس بین‌المللی امنیت، پیشرفت و توسعه پایدار مناطق مرزی، سرزمینی، کلانشهرها، راهکارها و چالش‌ها با محوریت پدافند عیربامل و مدیریت بحران، ۱-۱۱.
- اسماعیل پور، نجمه؛ عزیزپور، ملکه (۱۳۸۸)، تغییر کاربری اراضی کشاورزی و افزایش نسبی دمای شهر یزد ناشی از رشد سریع آن، جغرافیا و توسعه ناحیه‌ای، شماره ۱۲، صص ۳۷-۵۳.
- انصاری لاری‌احمد، نجفی‌اسماعیل، نوربخش‌سیده فاطمه (۱۳۸۹)، "قابلیت‌ها و محدودیت‌های ژئومورفولوژیکی توسعه فیزیکی شهر ایلام، آمايش محبيط، ۴(۱۵): ۱۶-۱.
- باقری، میلاد، جلوخانی نیازکی، محمدرضا، چارکانه، عبدالخالق و باقری، کیوان (۱۳۹۷)، پتانسیل یابی مناطق توسعه شهری با استفاده از شبکه عصبی مصنوعی، پژوهش‌های جغرافیای برنامه‌ریزی شهری، دوره ۶، شماره ۱، صص ۱۷۵-۱۹۶.
- جرجانی، حسن علی (۱۳۸۶)، توسعه فیزیکی شهر و تأثیر آن بر تغییر کاربری اراضی کشاورزی (گند کاووس)، پایان نامه کارشناسی ارشد، دانشگاه تهران، ۱-۱۰۰.
- خیدریان، پیمان، رتگن، کاظم، ملکی، سعید، تقی‌زاده، ایوب، (۱۳۹۴)، مدل سازی توسعه شهری با استفاده از رویکردهای پیش‌پردازش آماری و مدل پرسپترون چند لایه، جغرافیا و برنامه‌ریزی محیطی، سال ۲۶، شماره ۴، صص ۱۱۸-۹۷.
- خاشعی، مهدی، بیجاری، مهدی، مخاطب رفیعی، رفیعی، (۱۳۹۲)، انتخاب متغیر در شبکه عصبی پرسپترون چندلایه به منظور پیش‌بینی با استفاده از نگاشتهای خودسازمانده (SOM)، روش‌های عددی در مهندسی، سال ۳۳، شماره ۱، تابستان ۱۳۹۳.
- دهقانی، امیراحمد، پیری، مهدی، حسام، موسی، دهقانی، نوید (۱۳۸۹) تخمین تبخیر روزانه از تشت تبخیر با استفاده از سه شبکه عصبی پرسپترون چندلایه، تابع پایه شعاعی و المانی، مجله پژوهش‌های حفاظت آب و خاک، جلد هفدهم، شماره دوم، ۱۳۸۹.
- رستمی گله، فرهاد، قائمی، مرجان شاد، روزبه، لهرابی، یاسمن، (۱۳۹۷)، مدل سازی و پیش‌بینی رشد افقی شهر مشهد با استفاده از تلفیق اتوماتای سلولی فازی، شبکه عصبی و رگرسیون لجستیک، نشریه علمی پژوهشی فناوری اطلاعات مکانی، سال پنجم، شماره چهارم، صص ۱۱۱-۹۴.
- سرابی، محمد حسین، مویدفر، سعیده، (۱۳۸۹)، بررسی میزان پایداری توسعه در شهرهای مناطق خشک با تأکید بر مؤلفه‌های زیست-محیطی، شهر اردکان، فصلنامه جغرافیا و برنامه‌ریزی محیطی، شماره ۳۷، صص ۷۶-۴۷.
- سیف الدینی، فرانک، منصوریان، حسین، (۱۳۹۰)، تحلیل الگوی تمرکز خدمات شهری و آثار زیست محیطی آن در شهر تهران، محیط‌شناسی، شماره ۶۰، صص ۶۴-۵۳.
- صالحی، ناهید، اختصاصی، محمد رضا، طالبی، علی، (۱۳۹۸)، پیش‌بینی روند تغییرات کاربری اراضی با استفاده از مدل زنجیره مارکوف CA-Markov (مطالعه موردی: حوزه آبخیز صفارود رامسر)، سنجش از دور و سامانه اطلاعات جغرافیایی در منابع طبیعی، ۱۰(۱): ۱۲۰-۱۰۶.
- صدر موسوی، میرستار، پورمحمدی، محمدرضا، رحیمی، اکبر، (۱۳۹۴)، تحلیلی بر تغییرات کاربری زمین شهری با استفاده از مدل تحول زمین، نمونه موردی شهر تبریز، نشریه علمی-پژوهشی جغرافیا و برنامه‌ریزی، شماره ۵۴، ۲۰۹-۱۸۹.

- عزیزی، محمد مهدی (۱۳۸۰)، *تراکم در شهرسازی، اصول و معیارهای تعیین تراکم شهری*، انتشارات دانشگاه تهران. ۲۸۴ صفحه.
- علوی، سید علی، رostaیی، شهرام، یوسفی، مریم، کیا، روح الله، (۱۳۹۶)، آشکار سازی تغیرات کاربری شهری با استفاده از پردازش تصاویر ماهواره‌ای بر مبنای شبکه عصبی، *فصلنامه علمی-پژوهشی فضای جغرافیایی*، شماره ۵۹، صص ۴۶-۷۲.
- فیضی‌زاده، بختیار (۱۳۹۸)، ارزیابی تطبیقی تکنیک‌های پردازش پیکسل پایه و شبیه‌گرا در طبقه‌بندی تصاویر ماهواره‌ای Aster برای استخراج نقشه‌های اراضی کشاورزی و باقی در حاشیه شرقی دریاچه ارومیه، *فصلنامه علمی پژوهشی اطلاعات جغرافیایی (سپهر)*، ۱۰۹(۱): ۱۸۳-۱۶۷.
- قبادیان نژاد، مهران، فلاحتی، غلامرضا، (۱۳۹۷)، توسعه فیزیکی شهر شیراز و تأثیر آن در روند تغیرات پوشش گیاهی با استفاده آر اتومای سلولی و روش فازی و تصاویر ماهواره‌ای، *نشریه علمی ترویجی مهندسی نقشه برداری و اطلاعات مکانی*، شماره ۳.
- قربانی، رسول، پور محمدی، محمدرضا، محمودزاده، حسن، (۱۳۹۵)، ارزیابی و تحلیل گسترش فضائی کلانشهر تبریز با استفاده از تصاویر ماهواره‌ای چند زمانه، *فصلنامه جغرافیا و برنامه‌ریزی*، ۲۰(۵۶): ۲۳۸-۲۱۹.
- قنبر زاده، حمید، سرکار اردکانی، علی، محمد لطیف، علی، (۱۳۹۳)، آشکار سازی تغیرات کاربری اراضی با تکنیک طبقه‌بندی بر روی تصاویر ماهواره-2 Worldview-2 و استفاده از الگوریتم‌های شبکه عصبی مصنوعی، همایش کاربردهای مدل‌های پیشرفته تحلیل فضایی در آمایش سرزمین.
- کامیاب، سلمان ماهینی، حسینی، غلامعلی‌فرد، عبدالرسول، حمیدرضا، مهدی، سید محسن (۱۳۹۰)، کاربرد شبکه عصبی مصنوعی در مدل سازی توسعه شهری، *پژوهش‌های جغرافیای انسانی*، شماره ۲، صص ۹۹-۱۱۳.
- محمد زاده، رحمت، (۱۳۸۶)، بررسی زیست محیطی توسعه فیزیکی شتابان شهرها با تأکید بر شهرهای تهران و تبریز، *توسعه تاحیه‌ای*، شماره ۹.
- محمود زاده، حسن، رنجبر نوازی، امیر حسین، (۱۳۹۷)، کاربرد مدل LTM در پیش‌بینی و مدل سازی توسعه فیزیکی شهر ایلخچی، *فصلنامه پژوهش‌های جغرافیای انسانی*، ۵۰(۱): ۳۵-۵۳.
- محمود زاده، حسن، واحدی آقچه، علی، هریسچیان، مهدی، (۱۳۹۸)، کاربرد پایه مدل اسلوس در شیوه سازی توسعه شهری، *پژوهش‌های جغرافیایی برنامه‌ریزی شهری*، ۷۱(۳): ۵۸۰-۵۵۳.
- محمودزاده، حسن، عزیزمرادی، مجید، (۱۳۹۸)، مدل سازی جنگل‌زدایی با شبکه عصبی و سیستم اطلاعات جغرافیایی (جنگل‌های اطراف شهر خرم‌آباد)، *سنچش از دور و سامانه اطلاعات جغرافیایی در منابع طبیعی*، سال دهم، شماره ۴ زمستان ۱۳۹۸.
- المدرسی الحسینی، سید علی، کرمی، جلال، روش بخش، سمانه، (۱۳۹۳)، بررسی تغیرات کاربری اراضی شهر همدان بین سال‌های ۲۰۰۹-۲۰۰۲ با استفاده از شبکه عصبی مصنوعی (MLP) و LCM، همایش ملی کاربرد مدل‌های پیشرفته تحلیل فضایی در آمایش سرزمین، یزد، ۶ اسفند ۱۳۹۳.
- هارونی، مجید، کریمی، محسن، (۱۳۹۳)، یک روش جدید بهبود کیفیت تصاویر ماهواره‌ای به کمک ادغام تصویر در سطح پیکسل و ویژگی، *سومین کنفرانس ملی ایده‌های نو در مهندسی برق*، دانشگاه آزاد اسلامی واحد اصفهان.
- یوسفی، مریم، اشرفی، علی، (۱۳۹۵)، مدل سازی رشد شهری بجهود استفاده از داده‌های سنجش از دور (بر اساس شبکه عصبی-مارکوف و مدل‌ساز تغیرات سرزمین)، *فصلنامه برنامه‌ریزی منطقه‌ای*، سال ششم، صص ۱۹۲-۱۷۹.
- Celik, N. 2018. Change Detection of Urban Areas in Ankara through Google Earth Engine. In 2018 41st International Conference on Telecommunications and Signal Processing (TSP) (pp. 1-5). IEEE.

- Corbane, C., Pesaresi, M., Politis, P., Syrris, V., Florczyk, A.J., Soille, P., Maffenini, L., Burger, A., Vasilev, V., Rodriguez, D. and Sabo, F., 2017. Big earth data analytics on Sentinel-1 and Landsat imagery in support to global human settlements mapping. *Big Earth Data*, 1(1-2), pp.118-144.
- Gorelick, N., Hancher, M., Dixon, M., Ilyushchenko, S., Thau, D., & Moore, R., 2017. Google Earth Engine: Planetary-scale geospatial analysis for everyone. **Remote sensing of Environment**, 202, 18-27.
- <https://code.earthengine.google.com/>
- <https://earthengine.google.org>
- <https://ghsl.jrc.ec.europa.eu/>
- Kumar, L., & Mutanga, O., 2018. Google Earth Engine applications since inception: Usage, trends, and potential. **Remote Sensing**, 10(10), 1509.
- Magidi, J., & Ahmed, F., 2018. Assessing urban sprawl using remote sensing and landscape metrics: A case study of City of Tshwane, South Africa (1984–2015). **The Egyptian Journal of Remote Sensing and Space Science**.
- Manonmani, R. G, Suganya, M.D., 2010. Remote sensing and GIS application in change detection study in urban zone using multi temporal satellite, Int, J, **Geomatics and Geosciences**, 1 (1): 160-173.
- Menhaj M., 2002. introduction to Artificial Neural Network, **the publication center of AmirKabir University**
- Mohammadzadeh, R., 2007. "Environmental impact assessment of urban development in District 5 of tehran municipality", Volume II, **Department of Urban Planning and Architecture**, Tehran. [In Persian].
- Muñoz-Rojas, M., De la Rosa, D., Zavala, L.M., Jordán, A. and Anaya-Romero, M., 2011. Changes in Land Cover and Vegetation Carbon Stocks in Andalusia, Southern Spain (1956 - 2007), **Science of the Total Environment**, Vol. 409, No. 14, PP. 2796-2806.
- Nascetti,A.,DiRita,M.,Ravanelli,R.,Amicuzi,M.,Esposito,S. and Crespi, M., 2017. Free global DSM assessment on large scale areas exploiting the potentialities of the innovative Google Earth Engineplatform. The International Archives of Photogrammetry, Remote Sensing and Spatial Information Sciences 42, pp. 627.
- Park, S., Jeon, S., Kim, Sh., and Ch. Choi, 2011. Prediction and comparison of urban growth
- Pesaresi, M., Ehrlich, D., Ferri, S., Florczyk, A., Freire, S., Halkia, M., & Syrris, V., 2016. Operating procedure for the production of the Global Human Settlement Layer from Landsat data of the epochs 1975, 1990, 2000, and 2014. **Publications Office of the European Union**, 1-62.
- Shelestov, A., Lavreniuk, M., Kussul, N., Novikov, A., & Skakun, S., 2017. Exploring Google earth engine platform for big data processing: Classification of multi-temporal satellite imagery for crop mapping. **Frontiers in Earth Science**, 5, 17.
- Shi, Long, 2002, Suitability Analysis and Decision Making Using GIS, **Spatial Modeling**
- Sidhu, N., Pebesma, E., & Câmara, G., 2018. Using Google Earth Engine to detect land cover change: Singapore as a use case. **European Journal of Remote Sensing**, 51(1), 486-500.
- Yu, Z., Di, L., Tang, J., Zhang, C., Lin, L., Yu, E. G, & Sun, Z., 2018. Land use and land cover classification for Bangladesh 2005 on google earth engine. In 2018 7th International Conference on Agro-geoinformatics (Agro-geoinformatics) (pp. 1-5). IEEE.
- Yuan, H., 2002. Development and Evaluation of Advanced Classification Systems Using Remotely

Sensed Data for Accurate land use/land cover Mapping, Ph.D. Thesis, **Department of Forestry, and North Carolina State University.**